

## پیش‌بینی نقاط داغ انتشار $\text{CO}_2$ ناشی از تغییر کاربری اراضی

سامره فلاح‌تکار<sup>\*</sup> و سید محسن حسینی<sup>۲</sup>

۱. استادیار گروه محیط زیست، دانشکده منابع طبیعی و علوم دریایی، دانشگاه تربیت مدرس
۲. استاد گروه جنگل، دانشکده منابع طبیعی و علوم دریایی، دانشگاه تربیت مدرس

(تاریخ دریافت: ۱۳۹۴/۱۱/۱۱؛ تاریخ تصویب: ۱۳۹۶/۶/۲۹)

### چکیده

تبديل کاربری و پوشش اراضی منجر به انتشار کربن ذخیره شده موجود در خاک و گیاهان به صورت گاز  $\text{CO}_2$  می‌شود. در این تحقیق، تغییر کاربری اراضی منطقه دیلمان واقع در استان گیلان با استفاده از مدل LCM برای سال ۲۰۵۰ بر مبنای <sup>۴</sup> زیر مدل تغییر کاربری اراضی و به کارگیری متغیرهای توصیفی مدل‌سازی شد. کربن آلی خاک به روش والکی-بلاک اندازه‌گیری و تراکم کربن آلی خاک محاسبه شد. سپس تغییرات رخ داده در ذخیره کربن آلی خاک کاربری‌های مختلف، بر اساس تغییر مساحت کاربری‌های مورد نظر محاسبه گردید. نتایج نشان داد در صورت وجود روند مشابه در تغییر کاربری اراضی، مساحت اراضی جنگلی و مرتعدی به ترتیب ۹ درصد و  $23/4$  درصد کاهش خواهد داشت. با فرض ثابت ماندن شرایط محیط زیستی و مقدار تراکم کربن آلی خاک، این کاهش مساحت اراضی با پوشش طبیعی و گسترش اراضی کشاورزی و مناطق مسکونی در ۴۰ سال آینده منجر به از دست رفتن ذخیره کربنی موجود در خاک و آزاد شدن  $3/88 \times 10^5$  مگا گرم کربن به صورت گاز دی اکسید کربن از منطقه خواهد شد.

**کلید واژگان:** ذخیره کربن آلی خاک، دی اکسید کربن، تغییر کاربری اراضی، مدل LCM

## ۱. مقدمه

جنگل‌های هیرکانی یکی از مهمترین اکوسیستم‌های جهان است که مساحتی حدود ۱/۹ هکتار از اراضی جنوبی دریاچه خزر را به خود اختصاص داده است. متوفانه در سال‌های اخیر این اکوسیستم ارزشمند با خطر قطعه قطعه شدن و تبدیل به کاربری‌های دیگر (Mohammadi & Shataee, 2010) مواجه بوده است (Hashimoto *et al.*, 2002). این تبدیل اراضی جنگلی به سایر کاربری‌ها مانند مرتع و اراضی کشاورزی منجر به مشکل‌های جدی در این اکوسیستم‌ها شده که می‌توان به فرسایش خاک و تغییر ویژگی‌های خاک اشاره نمود (Yang & Pan, 2003). کربن ترسیب شده توسط پوشش‌های طبیعی در دراز مدت، در اثر چنین تغییراتی به صورت گاز دی اکسید کربن به هوا منتشر شده و منجر به تغییر اقلیم در مقیاس منطقه‌ای و جهانی می‌شود. بنابراین لازم است که عوامل مؤثر در تغییر کاربری اراضی این اکوسیستم ارزشمند شناسایی شده و تغییرات رویداده بر منطقه بر مبنای سناریوهای تغییر کاربری اراضی پیش‌بینی شود. در این حالت مناطقی که حجم عمدات از پوشش گیاهی خود را در یک بازه زمانی از دست می‌دهند و شاهد تغییرات کاربری و پوشش اراضی هستند مستعد انتشار گاز دی اکسید کربن بوده و به عنوان نقاط داغ انتشار این گاز تلقی می‌گردد. این تحقیق با هدف شناسایی نقاط داغ انتشار گاز دی اکسید کربن ناشی از تغییر کاربری اراضی در منطقه دیلمان واقع در استان گیلان بین سال‌های ۱۹۸۵ تا ۲۰۱۰ با استفاده از تصاویر ماهواره‌لنده انجام پذیرفت.

## ۲. مواد و روش‌ها

### ۲.۱. منطقه مورد مطالعه

منطقه دیلمان بخش کوچکی از حوضه آبخیز سفید رود است که بین طول جغرافیایی<sup>۱</sup> ۴۹°۵۷' و<sup>۲</sup> ۴۹°۰۰' و عرض جغرافیایی<sup>۳</sup> ۳۷°۰۰' و<sup>۴</sup> ۳۶°۵۰' شمالی واقع شده است. مساحت کل این منطقه بیش از ۱۰۰۰ هکتار است و دارای کاربری و پوشش‌های متنوعی مانند

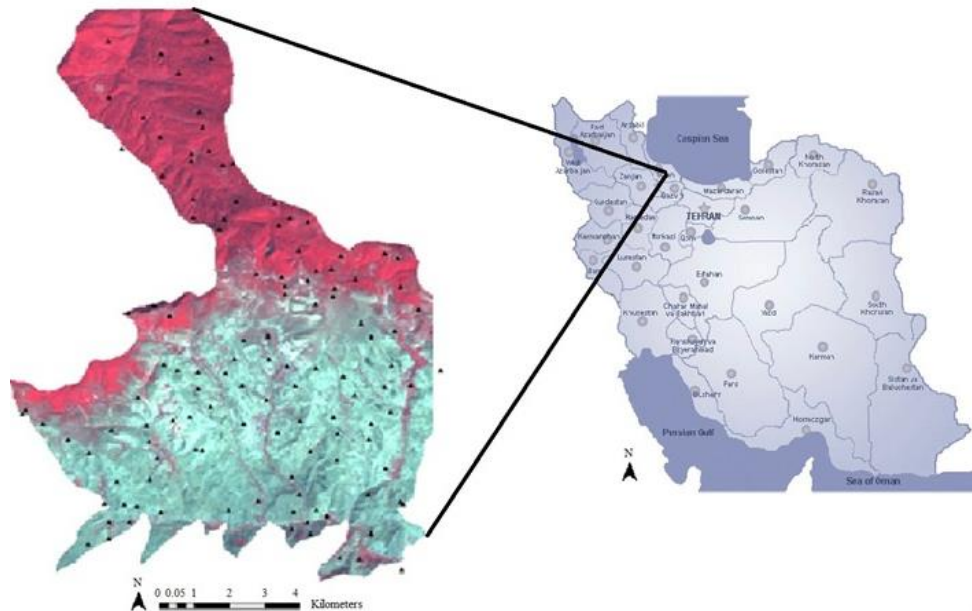
مواد آلی خاک شاخصی برای کیفیت خاک، کیفیت کشاورزی و کیفیت محیط زیست (ترسیب کربن) محسوب می‌شود. ماده آلی اصلی ترین عامل فعالیت زیستی خاک است. میزان، تنوع و فعالیت زیستی جانوران خاک مستقیماً به ماده آلی خاک بستگی دارد (Masri & Ryan, 2006). کربن آلی خاک نقش بسیار مهمی در چرخه جهانی کربن و تغییرات جهانی آن بازی می‌کند و بزرگترین منبع کربن اکوسیستم‌های خشکی محسوب می‌شود (Yang & Pan, 2003). کربن آلی خاک نقش مؤثری به عنوان ورودی یا خروجی کربن در پاسخ به تغییر اقلیم و CO<sub>2</sub> اتمسفر بازی می‌نماید و از طرف دیگر، نقش بسیار مهمی در افزایش تولید محصولات کشاورزی (Virgilio *et al.*, 2002; Stevenson & Cole, 1999) و

کاهش گازهای گلخانه‌ای بازی می‌کند.

تغییر کاربری اراضی به سبب افزایش جمعیت، توسعه مناطق شهری و صنعتی و همچنین گسترش بی رویه اراضی کشاورزی یکی از بزرگترین معضلات محیط زیستی در جهان امروز محسوب می‌گردد. از پیامدهای عمدۀ تغییر کاربری اراضی می‌توان به تغییر اقلیم ناشی از تبدیل اراضی با پوشش طبیعی مانند جنگل و مرتع به زمین‌های کشاورزی و مناطق مسکونی و صنعتی اشاره داشت. این نوع تبدیل اراضی منجر به آزاد شدن کربن ذخیره شده در اندام‌های گیاهی و خاک به صورت گاز CO<sub>2</sub> می‌شود (Upadhyay *et al.*, 2006). بنابراین آشکارسازی مناطق تخریب شده و پیش‌بینی تغییرات روی داده در آینده می‌تواند به برآورد حجم گاز CO<sub>2</sub> تولیدی ناشی از تغییر کاربری اراضی کمک کند. برای این امر نیاز به آشکارسازی تغییرات رخ داده در تغییرات کاربری اراضی منطقه، برآورد کربن آلی خاک کاربری‌های مختلف و شناسایی عوامل مؤثر در تغییر کاربری اراضی منطقه مورد مطالعه و لحاظ کردن آن در پیش‌بینی تغییرات روی داده در مدل‌سازی تغییر کاربری اراضی می‌باشد.

مرتع و از اراضی کشاورزی به مناطق مسکونی (در اثر افزایش ویلاسازی) بوده است. منطقه مورد مطالعه در شکل ۱ نشان داده شده است.

مناطق جنگلی، اراضی کشت شده، مرتع، مناطق مسکونی و صخره‌ای می‌باشد. این منطقه در سی سال گذشته شاهد تغییرات شدید کاربری اراضی از جنگل به



شکل ۱. منطقه مورد مطالعه

مخلوط شدند. پس از خشک شدن نمونه‌های خاک در دمای اتاق و انتقال به آزمایشگاه، اندازه کربن آلی خاک با استفاده از روش والکلی- بلاک تعیین شد (Walkley & Black, 1934) روش کلوخه و هیدرومتری بایکاس به ترتیب برای تعیین وزن مخصوص ظاهری و بافت خاک استفاده شد (Sheldrick & Wang, 1993). از رابطه ۱ برای محاسبه تراکم کربن آلی خاک در هر طبقه از کاربری و پوشش اراضی استفاده شد (۶):

$$SOC_D = \sum_m^i SOC_i \cdot BD_i \cdot D_i \quad [1]$$

SOC<sub>i</sub>: محتوای SOC در لایه  $i$  ام (g/kg)  
BD<sub>i</sub>: وزن مخصوص ظاهری در لایه  $i$  ام ( $\text{g/cm}^3$ )  
D<sub>i</sub>: عمق لایه  $i$  ام (m)

## ۲.۲. نمونه‌برداری و اندازه‌گیری کربن آلی خاک

روش تصادفی-طبقه‌بندی شده به منظور مشخص کردن محل پلات‌های نمونه‌برداری استفاده شد. برای تهیه نقشهٔ واحدهای همگن کاربری اراضی، شبیب و ارتفاع<sup>۱</sup> از روش روی‌هم‌گذاری در محیط GIS بهره گرفته شد. در مجموع ۱۲۴ موقعیت نمونه‌برداری در واحدهای LES مذبور به طور تصادفی با پراکنش نسبتاً یکنواخت انتخاب گردید. در هر پلات ۴ نمونه خاک با شعاع ۳ متری با حفر نیم رخ از اعماق ۰-۲۰ و ۴۰-۶۰ سانتی‌متری برداشت شد (Hernandez et al., 2009). جهت تقلیل تعداد نمونه‌ها برای اندازه‌گیری میزان درصد کربن آلی، نمونه‌های خاک هم افق در هر پلات با هم

<sup>۱</sup>. Land use, Slope, Elevation

همزمان برخوردار است (Eastman, 2009) این مدل با تلفیق توانایی‌های مدل زنجیره مارکوف، روش شبکه عصبی چند لایه پرسپترون<sup>۱</sup> (MLP) با الگوریتم آموزش پس انتشار خطأ، رگرسیون لجستیک و MOLA<sup>۲</sup> از کارایی خوبی در شبیه‌سازی فرایندهای پیچیده برخوردار است (Estman, 2014; Mas *et al.*, 2009). در مدل LCM ابتدا ماتریس احتمال و مساحت تغییرات با استفاده از مدل زنجیره مارکوف تهیه می‌شود. این ماتریس نشان دهنده احتمال تغییر یک کاربری مشخص به سایر کاربری‌ها در دوره زمانی مورد مطالعه است. سپس، بر مبنای تغییرات عمده رخداده در منطقه مورد مطالعه،<sup>۳</sup> زیر مدل تغییر کاربری اراضی مشخص گردید که عبارت بودند از ۱- زیر مدل تبدیل اراضی جنگل به مرتع، ۲- زیر مدل تبدیل مرتع به اراضی کشاورزی، ۳- زیر مدل تبدیل مرتع به مناطق مسکونی و ۴- زیر مدل تبدیل اراضی کشاورزی به مناطق مسکونی. برای ساخت نقشه پتانسیل انتقال تغییر هر یک از زیر مدل‌های مذکور، از متغیرهای توصیفی مختلف استفاده شد که با استفاده از روش شبکه عصبی چند لایه پرسپترون (MLP) مدل‌سازی شده و در نهایت به تولید نقشه‌های احتمال تغییر و یا پتانسیل انتقال تغییر هر کاربری انجامید. متغیرهای توصیفی به کار رفته در این مدل‌سازی عبارتند از شیب، جهت، ارتفاع، فاصله از مناطق مسکونی، فاصله از جاده، فاصله از مرز اراضی کشاورزی، فاصله از مرز اراضی جنگلی، فاصله از مرز اراضی مرتعی و شاخص اختلاف گیاهی نرمال شده. در نهایت نقشه پیش‌بینی تغییرات برای سال ۲۰۵۰ با استفاده از مدل زنجیره مارکوف و روش اختصاص اراضی به روش MOLA تولید شد. در این تحقیق مدل‌سازی تغییرات آینده فقط بر مبنای سناریوی مدیریتی تداوم که فرض می‌کند روند تغییرات گذشته در آینده نیز ادامه دارد انجام پذیرفت. به منظور اعتبار سنجی مدل نیز از

m: تعداد لایه خاک  
 $ASOC_{j,i}$ : تراکم کربن آلی خاک ( $\text{Kg/m}^2$ )  
 کل ذخیره کربن آلی خاک TSOC بر حسب (kg) از رابطه ۲ محاسبه شد:

$$TSOC = \sum_m^j ASOC_{j,i} S_j \quad [2]$$

$S_j$ : میانگین تراکم SOC در لایه زام ( $\text{kg/m}^2$ )  
 $m$ : مساحت طبقه زام ( $\text{m}^2$ )

از آنجایی که هر گیگاتن معادل ۳/۶۷ گیگاتن دی‌اکسیدکربن است که بر مبنای جرم اتمی کربن و دی‌اکسیدکربن محاسبه می‌گردد، با برآورد میزان کربن آلی خاک معادل دی‌اکسیدکربن آن نیز قابل برآورد است.

### ۳.۲ آشکارسازی تغییرات

از تصاویر ماهواره لندست مربوط به سال‌های ۱۹۸۵ و ۲۰۱۰ برای تهیه نقشه کاربری اراضی استفاده شد. از روش طبقه‌بندی هیبرید که تلفیقی از روش طبقه‌بندی نظارت شده و نظارت نشده است، برای تهیه نقشه کاربری و پوشش اراضی استفاده شد. سپس از روش مقایسه پس از طبقه‌بندی برای آشکارسازی تغییرات کاربری اراضی طی ۲۵ سال گذشته استفاده شد. روش مقایسه پس از طبقه‌بندی علاوه بر نشان دادن موقعیت پیکسل‌های تغییر یافته در منطقه، نوع تغییرات رخ داده را نیز مشخص می‌نماید و از حساسیت کمتری به تصحیحات اتمسفریک نسبت به سایر روش‌های آشکارسازی تغییرات برخوردار است (Coppin *et al.*, 2004).

### ۴.۲ مدل‌سازی تغییرات کاربری اراضی

به منظور مدل‌سازی تغییرات رخ داده در منطقه مورد مطالعه برای سال ۲۰۵۰، از مدل LCM موجود در نرم‌افزار IDRISI Selva استفاده شد. این مدل از توانایی بالایی برای مدل‌سازی تغییرات چندین کاربری به طور

<sup>1</sup>. Multi-layer perceptron

<sup>2</sup>. Multi-Objective Land Allocation

در این افزایش وسعت به ترتیب ۳۶ درصد و ۳۹/۸ درصد بوده است. بر مبنای نتایج این جدول، ۲۸/۸۶ هکتار از مراتع، معادل ۹۸۲/۶۲ هکتار به اراضی کشاورزی و حدود ۴۱/۳ هکتار آن به مناطق مسکونی تبدیل شده است. مقدار ۳۶ هکتار از اراضی کشاورزی نیز در این بازه زمانی به مناطق مسکونی تبدیل شده است. در شکل ۲ موقعیت مکانی پیکسل‌های تغییر یافته از کاربری‌های مختلف در منطقه دیلمان نشان داده شده است.

### ۲.۳. مدل‌سازی تغییرات کاربری اراضی

نتایج مدل‌سازی نشان می‌دهد در صورتی که روند تغییرات آینده مانند ۲۵ سال گذشته باشد، مساحت اراضی جنگلی از ۳۱۵۱/۸۹ هکتار به ۲۵۳۳/۱۴ هکتار کاهش خواهد یافت که معادل ۹ درصد کاهش در مساحت فعلی اراضی جنگلی در ۴۰ سال آینده خواهد بود (جدول ۱). بر اساس این سناریو، مردم و مدیران منابع طبیعی شاهد کاهش ۲۳/۴ درصدی مراتع از مساحت ۲۸۳۴/۹۱ هکتار به ۲۱۷۲/۰۶ هکتار خواهند بود. اراضی کشاورزی نیز در این بازه زمانی حدود ۱۱۴۴ هکتار افزایش مساحت خواهد داشت که می‌توان گفت سالانه به طور متوسط ۲۸/۶ هکتار بر وسعت این اراضی افزوده خواهد شد. از جمله تغییرات قابل ذکر در این دوره، افزایش ۱۳۷/۶۱ هکتار بر مناطق مسکونی است. این مساحت معادل ۴۰/۵ درصد افزایش است که اغلب در اطراف شهرها و روستاهای فعلی منطقه و در امتداد جاده‌ها روی داده است.

ماژول Validation تعییه شده در مدل LCM استفاده شد که فقط از پیکسل‌هایی که تغییر کاربری در آن‌ها اتفاق افتاده است برای بررسی توافق بین دو نقشه استفاده می‌نماید. برای این منظور از سه مؤلفه Hits، Misses و False Alarms استفاده می‌شود. Hits پیکسل‌هایی را نشان می‌دهد که در مدل واقعیت، تغییر کاربری اراضی روی داده است. False Alarms نشان دهنده پیکسل‌هایی است که مدل آن‌ها را تغییر یافته پیش‌بینی می‌کند ولی در واقعیت چنین نبوده است. Misses نیز نشان دهنده پیکسل‌هایی است که مدل آن‌ها را ثابت پیش‌بینی کرده اما در واقعیت آن‌ها تغییر نموده‌اند. از نسبت Hits به کل پیکسل‌های تغییر کرده می‌توان به قابل قبول بودن نتایج مدل در پیش‌بینی تغییرات کاربری اراضی پی برد (Estman, 2009).

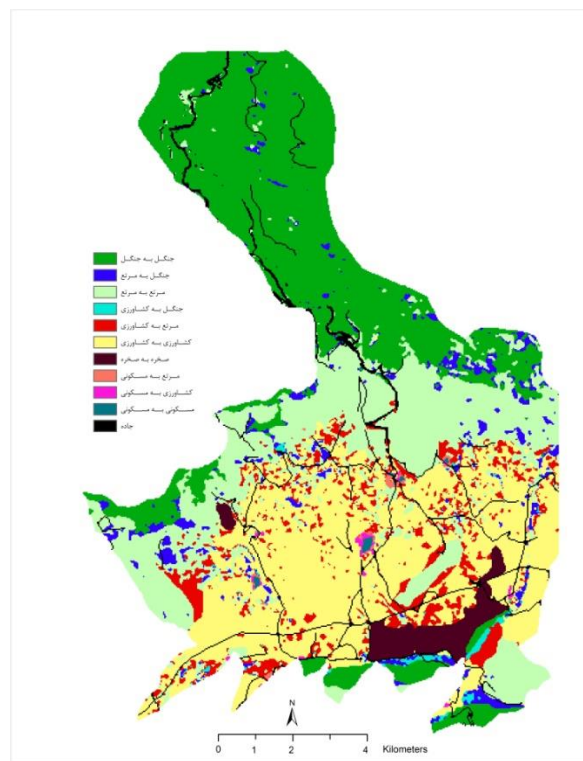
## ۳. نتایج

### ۳.۱. آشکارسازی تغییرات کاربری اراضی

بین سال‌های ۱۹۸۵ تا ۲۰۱۰ می‌توان به افزایش ۲۰ درصدی مساحت اراضی کشاورزی اشاره داشت که سهم اراضی مرتعی در این افزایش ۱۸/۱۳ درصد برآورد شده است. طبق نتایج ارائه شده بین سال‌های ۱۹۸۵ تا ۲۰۱۰ تبدیل ۱۲/۲۳ درصدی اراضی جنگلی (۴۵۴/۳۲ هکتار) به اراضی مرتعی در منطقه دیلمان روی داده است. در این بازه ۲۵ ساله، مناطق مسکونی حدود ۷۵/۷۷ درصد افزایش مساحت دارد که سهم اراضی کشاورزی و مرتعی

جدول ۱. مساحت طبقات کاربری اراضی بر مبنای سناریو تداوم (بر حسب هکتار)

طبقات کاربری اراضی	۲۰۱۰ سال	۲۰۰۰ سال
جنگل	۳۱۵۱/۸۹	۲۵۳۳/۱۴
مرتع	۲۸۳۴/۹۱	۲۱۷۲/۰۶
اراضی کشاورزی	۴۰۶۳/۵۹	۵۲۰۷/۵۸
مناطق صخره‌ای	۳۱۵/۹۰	۳۱۵/۹۰
مناطق مسکونی	۹۳/۶۰	۲۳۱/۲۱
جاده	۴۰۹/۰۵	۴۰۹/۰۵
کل	۱۰۸۶۸/۹۴	۱۰۸۶۸/۹۴



شکل ۲. نقشه تغییرات کاربری اراضی بین سال‌های ۱۹۸۵-۲۰۱۰

قابل قبول بودن نتایج مدل‌سازی را نشان می‌دهد. Pontius و همکاران (۲۰۰۸) بیان کردند نتایج بین ۱ تا ۵۹ درصد نتایج قابل قبول در مدل‌سازی کاربری اراضی است.

### ۳.۳. اعتبارسنجی مدل LCM

برای محاسبه دقیق توافق بین نقشه واقعیت زمینی و نقشه مدل شده توسط LCM برای سال ۲۰۱۰ از ماذول Validation موجود در مدل LCM استفاده شد. این نسبت مطابق با نتایج جدول ۲ برابر ۲۲ درصد است و

جدول ۲. نتایج اعتبارسنجی مدل LCM (بر حسب پیکسل)

۲۴۰۵	Hits
۵۵۰۲	False Alarms
۲۹۵۷	Misses

اراضی کشاورزی، ۳۰ نمونه در مناطق جنگلی و ۳۳ نمونه نیز در مراتع برداشت گردید. در هر سه کاربری اراضی بالاترین میانگین میزان تراکم کربن آلی خاک در عمق ۰-۲۰ سانتی‌متری وجود داشت که بیشترین میزان آن در اراضی جنگلی با مقدار  $6/71 \pm 1/88$  کیلوگرم کربن بر متر

### ۴.۳. محاسبه کربن آلی خاک و ذخیره کربن آلی خاک

نتایج آمار توصیفی در جدول ۳ ارائه شده است. از مجموع ۱۲۴ پلاٹ در کل منطقه ۶۱ نمونه خاک در

مناطق جنگلی، مراتع و اراضی کشاورزی به ترتیب برابر با  $۴/۸۹\pm ۱/۹۶$  کیلوگرم بر متر مربع،  $۳/۴۸\pm ۲/۸۶$  کیلوگرم بر متر مربع و  $۲/۷۵\pm ۱/۸۸$  کیلوگرم بر متر مربع برآورد شد.

مربع و سپس با میزان  $۵/۲۲\pm ۳/۴۷$  و  $۱/۸۸\pm ۳/۲۰$  کیلوگرم کربن بر متر مربع به ترتیب در مراتع و اراضی کشاورزی دیده می‌شود (جدول ۳). میانگین میزان تراکم کربن آلی خاک در عمق  $۲۰\text{--}۴۰$  سانتی‌متری برای

جدول ۳. آمار توصیفی تراکم کربن آلی خاک (kg/m<sup>2</sup>) در طبقات کاربری اراضی مختلف (n=۱۲۴)

عمق (cm)	کاربری اراضی	تعداد	میانگین	بیشینه	کمینه	انحراف معیار	ضریب تغییرات	چولگی
	جنگل	۳۰	۶/۷۱a	۱۱/۷۹	۳/۴۲	۱/۸۸	۰/۲۸	۰/۵۰
۰-۲۰	مرتع	۳۳	۵/۲۲b	۱۲/۵۲	۰/۹۹	۳/۴۷	۰/۶۶	۰/۴۰
	اراضی کشاورزی	۶۱	۳/۲۰c	۱۰/۲۷	۱/۰۵	۱/۸۸	۰/۵۸	۱/۵۹
	جنگل	۳۰	۴/۸۹a	۹/۵۶	۱/۹۲	۱/۹۶	۰/۴۰	۰/۵۲
۲۰-۴۰	مرتع	۳۳	۳/۴۸b	۱۴/۰۵	۰/۹۴	۲/۸۶	۰/۸۲	۰/۴۰
	اراضی کشاورزی	۶۱	۲/۷۵b	۹/۴۷	۰/۴۷	۱/۸۸	۰/۶۸	۱/۵۵

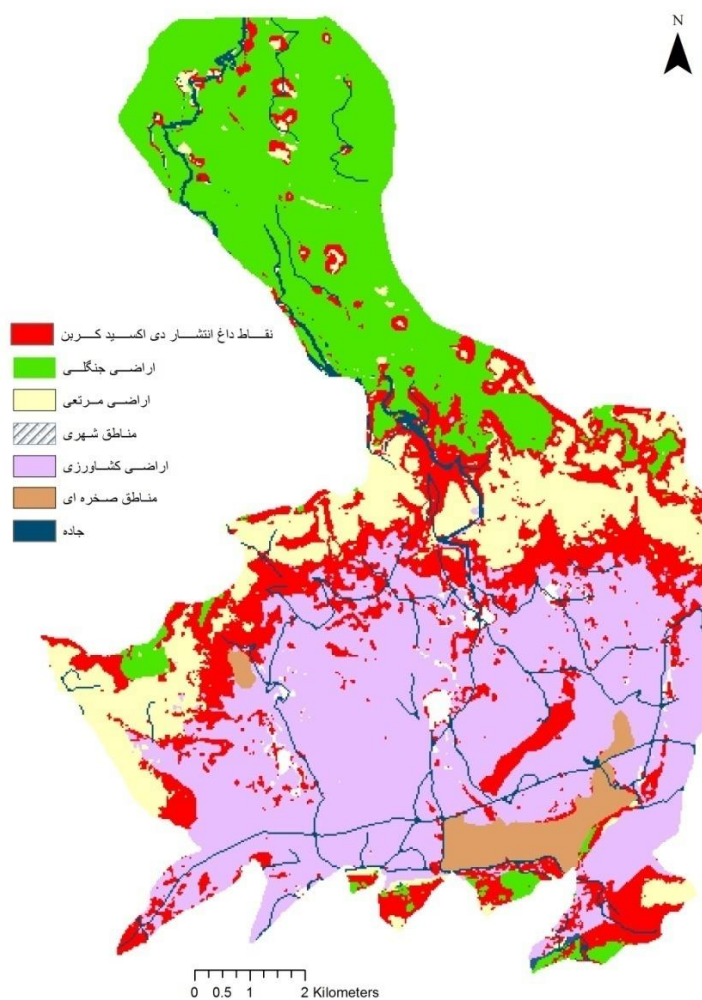
که منجر به کاهش زیستوده ورودی به اکوسیستم جنگلی می‌گردد قطعاً منجر به کاهش بیشتر تراکم کربن آلی خاک در منطقه می‌شود. به علت تبدیل مراتع به اراضی کشاورزی و مناطق مسکونی کاهش  $۳/۶\times ۱۰^۴$  مگا گرم کربن در عمق  $۰\text{--}۲۰$  سانتی‌متری و  $۲/۳\times ۱۰^۴$  مگا گرم کربن در عمق  $۲۰\text{--}۴۰$  سانتی‌متری روی خواهد داد. اما با افزایش وسعت اراضی کشاورزی در این سال‌ها میزان ذخیره SOC در این طبقه کاربری اراضی  $۳/۶\times ۱۰^۴$  مگا گرم کربن در عمق  $۰\text{--}۲۰$  سانتی‌متری نسبت به سال ۲۰۱۰ افزایش نشان خواهد داد که در مقایسه با کاهش ذخیره کربن آلی در اراضی جنگلی و مرتعی نقش مؤثری در افزایش ترسیب کربن منطقه خواهد داشت.

### ۵.۳. تغییرات ذخیره کربن آلی خاک در ۴۰ سال آینده و انتشار گاز دی اکسید کربن

بر اساس نتایج ارائه شده در جدول ۴ ذخیره کربن آلی خاک طی ۴۰ سال آینده از  $۲/۱\times ۱۰^۵$  مگا گرم کربن در سال ۲۰۱۰ به  $۱/۷\times ۱۰^۵$  مگا گرم کربن در سال ۲۰۵۰ در عمق  $۰\text{--}۲۰$  سانتی‌متری اراضی جنگلی کاهش خواهد یافت. این میزان کاهش در ذخیره SOC فقط ناشی از کاهش مساحت اراضی جنگلی و تبدیل آن به سایر طبقات کاربری به ویژه اراضی مرتعی خواهد بود. قابل ذکر است که فرض اصلی در این محاسبات ثابت بودن میزان SOC طی سال‌های مورد بررسی است. سایر عوامل تأثیر گذار بر SOC مانند خشکسالی، فرسایش و نظیر آن

جدول ۴. ذخیره کربن آلی خاک (Mg C) و معادل CO<sub>2</sub> تولیدی در طبقات مختلف کاربری اراضی بر مبنای سناریوی تداوم

سال ۲۰۵۰		سال ۲۰۱۰		کاربری اراضی	عمق (cm)
CO <sub>2</sub> e	SOC stock	CO <sub>2</sub> e	SOC Stock		
$۶/۲۲\times ۱۰^۵$	$۱/۷۰\times ۱۰^۵$	$۷/۷۲\times ۱۰^۵$	$۲/۱۱\times ۱۰^۵$	جنگل	۰-۲۰
$۴/۱۳\times ۱۰^۵$	$۱/۱۳\times ۱۰^۵$	$۵/۴۱\times ۱۰^۵$	$۱/۴۸\times ۱۰^۵$	مرتع	
$۳/۰۶\times ۱۰^۵$	$۱/۶۶\times ۱۰^۵$	$۴/۷۵\times ۱۰^۵$	$۱/۳۰\times ۱۰^۵$	اراضی کشاورزی	
$۴/۵۳\times ۱۰^۵$	$۱/۲۴\times ۱۰^۵$	$۵/۶۳\times ۱۰^۵$	$۱/۵۴\times ۱۰^۵$	جنگل	۲۰-۴۰
$۲/۷۴\times ۱۰^۵$	$۰/۷۵\times ۱۰^۵$	$۳/۵۸\times ۱۰^۵$	$۰/۹۸\times ۱۰^۵$	مرتع	
$۵/۲۳\times ۱۰^۵$	$۱/۴۳\times ۱۰^۵$	$۴/۱۰\times ۱۰^۵$	$۱/۱۲\times ۱۰^۵$	اراضی کشاورزی	



شکل ۳. نقشه نقطه داغ انتشار CO<sub>2</sub> ناشی از تغییر کاربری اراضی ۴۰ سال آینده

رفتن اراضی جنگلی و تبدیل آن به اراضی مرتعی در ۴۰ سال آینده میزان  $3/88 \times 10^5$  مگا گرم کربن به صورت گاز دی اکسید کربن وارد جو خواهد شد. در چهار دهه آینده مطابق با سناریوی تداوم مساحت اراضی کشاورزی افزایش خواهد یافت که این امر نیز به نوبه خود منجر به انتشار گاز دی اکسید کربن به منطقه می‌گردد. شکل ۳ موقعیت مناطق داغ انتشار گاز دی اکسید کربن ناشی از تغییر کاربری اراضی را برای ۴۰ سال آینده در منطقه دیلمان را نشان می‌دهد.

مطابق با نتایج ارائه شده در جدول ۴ به واسطه تبدیل مناطق جنگلی به اراضی مرتعی  $4/36 \times 10^5$  مگا گرم CO<sub>2</sub> انتشار خواهد یافت. همچنین در نتیجه تبدیل مناطق جنگلی به اراضی مرتعی در ۲۵ سال گذشته معادل  $14 \times 10^5$  مگا گرم دی اکسید کربن وارد جو خواهد شد. بر اساس تغییر مساحت کاربری‌های مختلف بر مبنای مدل‌سازی تغییر سرزمین نیز ما شاهد تغییرات شدیدی در میزان ذخیره کربن آلی خاک و میزان انتشار گاز CO<sub>2</sub> ناشی از تغییر کاربری اراضی هستیم. به علت از دست

که منجر به انتشار گاز دی اکسید کربن در مناطقی می‌شود که با تغییر کاربری و پوشش اراضی مواجه بوده است. قابل ذکر است که در این تحقیق، به علت در دسترس نبودن مقدار کربن آلی خاک سال‌های گذشته برای ارزیابی تغییرات ذخیره کربن آلی خاک در اثر تغییر کاربری اراضی فرض گردید که مقدار کربن آلی خاک طی ۲۵ سال گذشته در کاربری‌های مختلف اراضی برابر مقدار برآورده آن در سال ۲۰۱۰ است. بر مبنای این فرض، ثابت بودن شرایط زیستمحیطی (فرسایش، آب و هوا و...) طی این دوره زمانی نیز در نظر گرفته شد. همانطور که ذکر گردید به علت از دست رفتن اراضی جنگلی و تبدیل آن به اراضی مرتعی در ۴۰ سال آینده میزان  $10 \times 3/88$  مگا گرم کربن به صورت گاز دی اکسید کربن وارد جو خواهد شد. در چهار دهه آینده مطابق با سناریوی تداوم مساحت اراضی کشاورزی افزایش خواهد یافت که این امر نیز به نوبه خود منجر به انتشار گاز دی اکسید کربن به منطقه می‌گردد. مطمئناً در این پژوهش با خطاهای دیگری مانند خطای طبقه بندی تصاویر ماهواره‌ای، خطای تصحیح هندسی و خطای در مدل‌سازی مواجه هستیم که بر عدم قطعیت مطالعه حاضر می‌افزاید. با توجه به وجود چنین منابع خطایی در تحقیقات مشابه و ناگزیر بودن از پذیرش آن‌ها توسط محققین، قابل ذکر است که این خطاهای منجر به تغییرات عمده و اساسی در اصول و نتایج کار نمی‌گردد. قابل ذکر است که نتایج این تحقیق می‌تواند زنگ خطری برای مسئولان منابع طبیعی کشور باشد تا با شناسایی مناطق مستعد ترسیب کربن در کاربری‌های مختلف به برنامه‌ریزی دقیق‌تر برای صیانت از منابع طبیعی بپردازند.

#### ۴. بحث و نتیجه‌گیری

در این تحقیق از مدل‌سازی تغییر کاربری اراضی (LCM) برای پیش‌بینی تغییرات کاربری اراضی ۴۰ سال آینده استفاده شد. در سال ۲۰۱۰ نیز نمونه‌برداری از خاک منطقه در دو عمق ۰-۲۰ و ۲۰-۴۰ سانتی‌متری به منظور اندازه‌گیری مقدار تراکم کربن آلی خاک انجام شد. اراضی جنگلی، مرتع و زمین‌های کشاورزی به ترتیب بالاترین مقدار تراکم کربن آلی خاک منطقه را به خود اختصاص دادند. Guo و Gifford (۲۰۰۲) بیان می‌کنند که کشاورزی معمولاً منجر به کاهش ۳۰ الی ۵۰ درصدی ماده آلی خاک در عمق‌های بالای ۳۰ سانتی‌متری می‌گردد. این اثر از طریق کاهش ورودی‌های کربن مانند کاهش بیومس برگشتی به خاک به علت برداشت محصول (Lauenroth *et al.*, 2000) و درجه حرارت بالاتر خاک‌های شخم خورده که خود منجر به افزایش نرخ معدنی شدن و ناپایداری کربن آلی می‌شود، ایجاد می‌گردد. Xu و Zhong (۲۰۰۹)، Fang و همکاران (۲۰۱۲) در تحقیقات خود نشان دادند که میزان SOC در کاربری جنگل و مرتع بیشتر از اراضی کشاورزی است و علت آن را تبدیل پوشش طبیعی به اراضی کشاورزی و تأثیر شخم در افزایش نرخ تجزیه مواد آلی بیان نمودند. در مدت ۲۵ سال گذشته منطقه مورد مطالعه با کاهش اراضی جنگلی و مرتعی و گسترش زمین‌های کشاورزی رو به رو بوده است. این امر منجر به تخریب پوشش گیاهی طبیعی و به تبع آن کاهش ترسیب کربن در اکوسیستم‌های مورد مطالعه شده است. با فرض ثابت ماندن شرایط محیط زیستی منطقه، ذخایر کربن آلی خاک کاهش چشمگیری در ۴۰ سال آینده خواهد داشت

## References

- Coppin, P., Jonckheere, H., Nackaerts, K., Muys, B., Lambin E., 2004. Digital change detection methods in ecosystem monitoring: a review, *International Journal of Remote Sensing*. 25 (9), 1565-1596.
- Eastman, J. R., 2009. *Idrisi Tiaga: Guide to GIS and image processing*, Clark University, USA. 171 p.
- Fang, X., Xue, Z., Li, B., An, S., 2012. Soil organic carbon distribution in relation to land use and its storage in a small watershed of the Loess Plateau, China. *Catena* 88, 6-13.
- Guo, L. B., Gifford, M., 2002. Soil carbon stocks and land use change: a meta analysis. *Global Change Biology* 8, 345–360.
- Lauenroth, W. K., Burke, I. C., Paruelo, J. M., 2000. Patterns of production and precipitation use efficiency of winter wheat and native grasslands in the Central Great Plains of the United States. *Ecosystems* 3, 334–351.
- Hashimoto, M., Nose, T., Muriguchi, Y., 2002. Wood products: potential carbon sequestration and impact on net carbon emissions of industrialized countries. *Environmental Science & Policy* 5, 183-193.
- Hernandez, R., Koohafkan, P., Antoine, J., 2004. Assessing Carbon Stocks and modeling winwin Scenarios of carbon sequestration through land-use change. *Food and Agriculture Organization of the United nations* 1-166.
- Mas, J. F., Kolb, M., Paegelow, M., Camacho Olmedo, M. T., 2014. Inductive pattern-based land use/cover change models: A comparison of four software packages. *Environmental Modelling & software* 51, 94-111.
- Masri, Z., Ryan, J., 2006. Soil organic matter and related physical properties in a Mediterranean wheat-based rotation trial . *Soil and Tillage Research* 87,146-154.
- Mohammadi. J., Shataee, S.H., 2010. Possibility investigation of tree diversity mapping using Landsat ETM+ data in the Hyrcanian forests of Iran. *Remote Sensing of Environment* 114, 1504-1512.
- Pontius Jr, R. G., Thontteh, O., Chen, H., 2008. Components of information for multiple resolution comparison between maps that share a real variable. *Environmental and Ecological Statistics* 15, 42-111.
- Sheldrick, B.H., Wang, C., 1993. Particle size distribution. In: Carter, M.R. (Ed.) *Soil Sampling and Methods of Analysis*. Canadian Society of Soil Science, Lewis Publishers, Boca Raton.198 p.
- Stevenson, F.J., Cole, M. A., 1999. *Cycles of Soil: Carbon, Nitrogen, Phosphorus, sulfure, micronutrient*. Wiley, New York. 448 p.
- Upadhyay, T. P., Solberg, B., Sankhayan, P. L., 2006. Use of models to analyse land-use changes, forest/soil degradation and carbon sequestration with special reference to Himalayan region: A review and analysis. *Forest Policy and Economics* 9, 349-371.
- Virgilio. N.D., Monti. A., Venturi. G., 2007. Spatial variability of switchgrass (*Panicum virgatum L.*) yield as related to soil parameters in a small field. *Field crop research* 101, 232-239.
- Walkley, A., Black I. A., 1934. An examination of the Degtjareff method for determining organic carbon in soils: Effect of variations in digestion conditions and of inorganic soil constituents. *Soil Science* 63, 251-263.
- Yang, L. X., Pan, J. J., 2003. Dynamic models of soil organic carbon. *Journal of Forestry Research* 14, 323-330.
- Zhong, B., Xu, Y. J., 2009. Topographic Effects on Soil Organic Carbon in Louisiana Watersheds. *Environmental Management* 43, 664-672.